

Определение температур ионосферной плазмы на основе модели сигнала некогерентного рассеяния

В.П. Ташлыков, А.В. Медведев
Институт Солнечно-Земной Физики СО РАН
vtashlykov@iszf.irk.ru, medvedev@iszf.irk.ru

БШФФ 2017



Рабочие частоты	154 - 162 МГц
Импульсная мощность	2.5 - 3.2 МВт
Длительность импульсов	70 - 820 мкс
Частота повторения импульсов	24.4 Гц
Коэффициент усиления антенны	38 дБ
Шумовая температура системы	300 К
Антенна	секториальный рупор
Размер диаграммы напр.	0.5° (С-Ю), 10° (В-З)
Диапазон сканирования	±30° (С-Ю)

$$s(t) = \sum_h F(h) \cdot \sum_{n=0}^N S_{nh} \cdot e^{i(\omega_{nh}t + 2k_{nh}h + \varphi_{nh})} \cdot p\left(h - \frac{ct}{2}\right),$$

$F(h)$ – профиль мощности, S_{nh} – амплитуды спектра флуктуации плазмы, ω_{nh} , k_{nh} – амплитуда, частота и волновое число спектра рассеяния плазмы для n -го иона и высоты h , φ_{nh} – случайная фаза рассеяния, p – форма зондирующего импульса. АКФ сигнала при стробирующей функции $o(t)$:

$$R(\tau) = \sum_t s(t) \cdot o(t) \cdot s^*(t - \tau) \cdot o(t - \tau).$$

Решение обратной задачи:

$$R_0(\tau) = \frac{\langle R(\tau) \rangle}{W(\tau)}$$

$$W(\tau) = \sum_{t=\tau}^T \left\{ \sum_h \left[F^2(h) \cdot p\left(h_1 - \frac{ct}{2}\right) \cdot p\left(h_2 - \frac{ct}{2} + \frac{c\tau}{2}\right) \cdot o(t) \cdot o(t - \tau) \right] \right\}$$

Спектр флуктуаций плазмы [Шеффилд, 1972]

$$S(k_s, \omega) = \frac{2\pi}{k_s} \left| 1 - \frac{G_e}{\epsilon} \right|^2 f_{e0} \left(\frac{\omega}{k_s} \right) + \frac{2\pi Z}{k_s} \left| \frac{G_i}{\epsilon} \right|^2 f_{i0} \left(\frac{\omega}{k_s} \right), \quad (2)$$

где $k_s = 4\pi f_0 / c$ – волновое число, f_0 – рабочая частота радара, Z – заряд иона;

$$f_{e0}(v) = \frac{\exp\left(-\frac{v^2}{a^2}\right)}{(\pi a^2)^{\frac{1}{2}}} \text{ и}$$

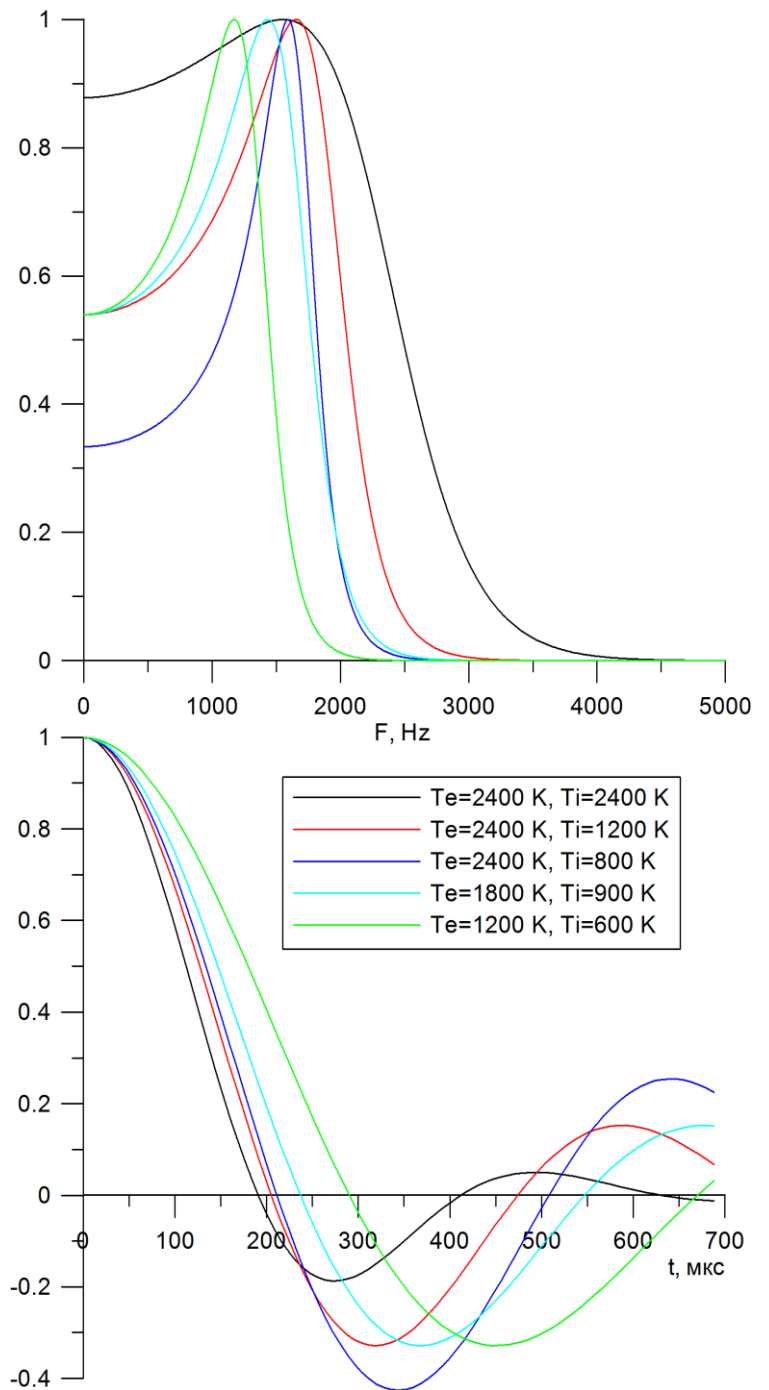
$$f_{i0}(v) = \frac{\exp\left(-\frac{v^2}{b^2}\right)}{(\pi b^2)^{\frac{1}{2}}}$$

распределения скоростей электронов и ионов в термодинамическом равновесии (распределение Максвелла); $a = (2k_b T_e / m_e)^{1/2}$ и $b = (2k_b T_i / m_i)^{1/2}$ – тепловые скорости электронов и ионов (k_b – постоянная Больцмана);

$$G_e = \alpha^2 \left(1 - 2x_e e^{-x_e^2} \int_0^{x_e} p e^{p^2} dp - i\pi^{1/2} x_e e^{-x_e^2} \right) \text{ и}$$

$$G_i = \alpha^2 \left(1 - 2x_i e^{-x_i^2} \int_0^{x_i} p e^{p^2} dp - i\pi^{1/2} x_i e^{-x_i^2} \right) -$$

интегралы Гордеева для незамагниченной плазмы; $\alpha = 1/k\lambda_D$, $x_e = \omega/ka$, $x_i = \omega/kb$, $\epsilon = 1 + G_e + G_i$ и λ_D – радиус Дебая.



На каждой итерации приближение искомой функции находится в виде:

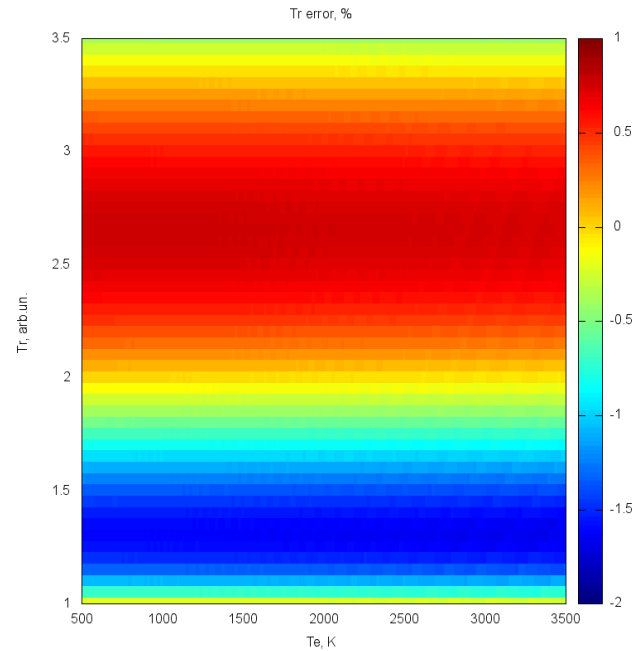
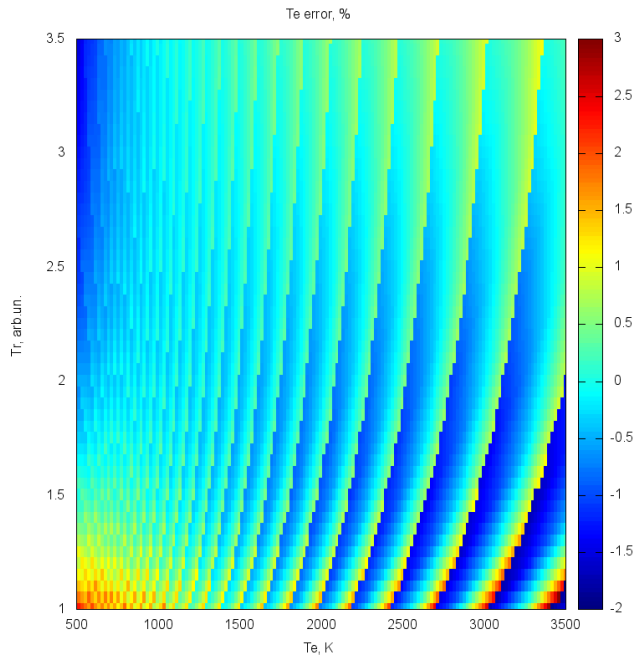
$$f(\beta, x) = f(\beta_0, x) + J_0(\beta - \beta_0),$$

где J_0 – Якобиан функции f .

Итеративная оценка вектора β проводится в уравнении:

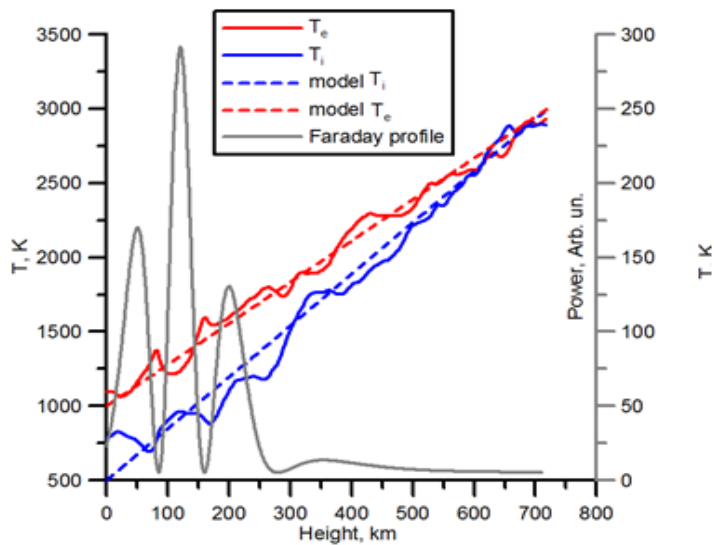
$$\beta_{j+1} = \beta_j + (J_0^T J_0)^{-1} J_0^T e,$$

где e – текущий вектор остатков для j -й итерации.

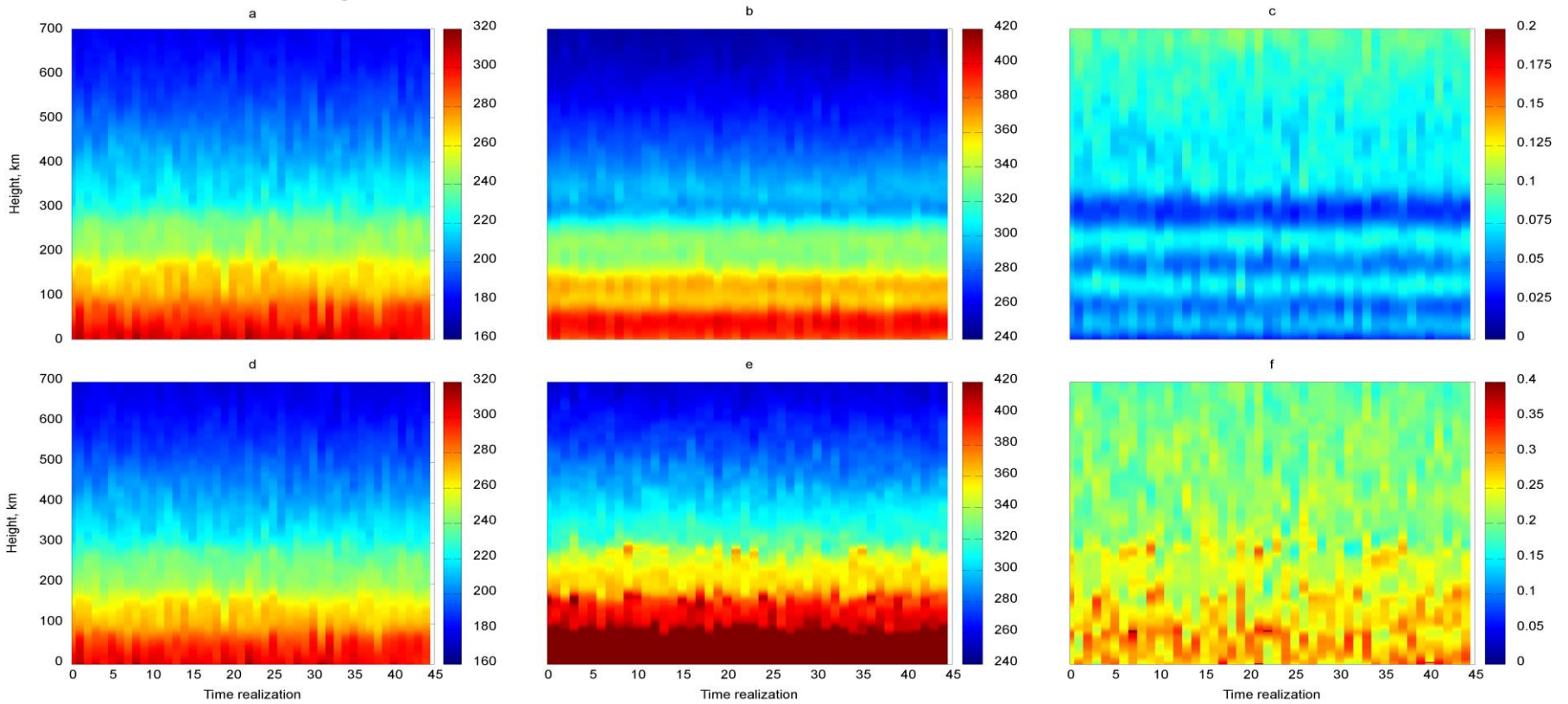


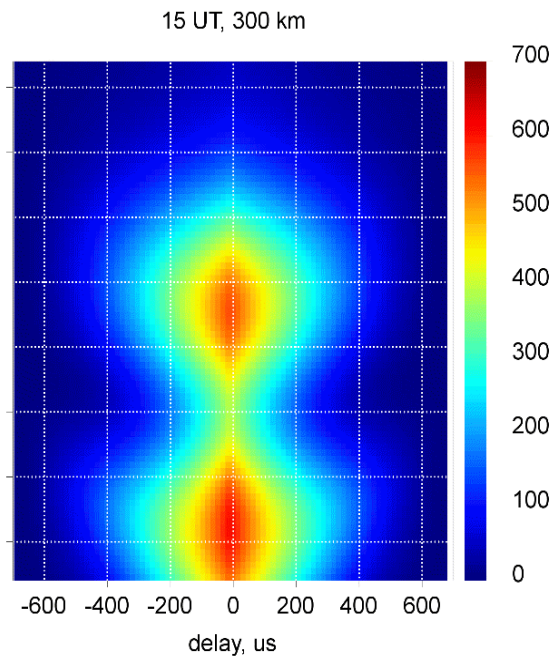
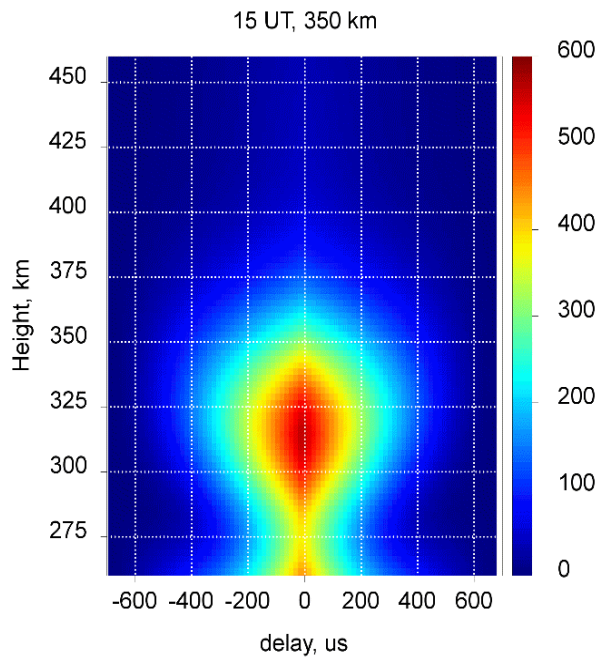
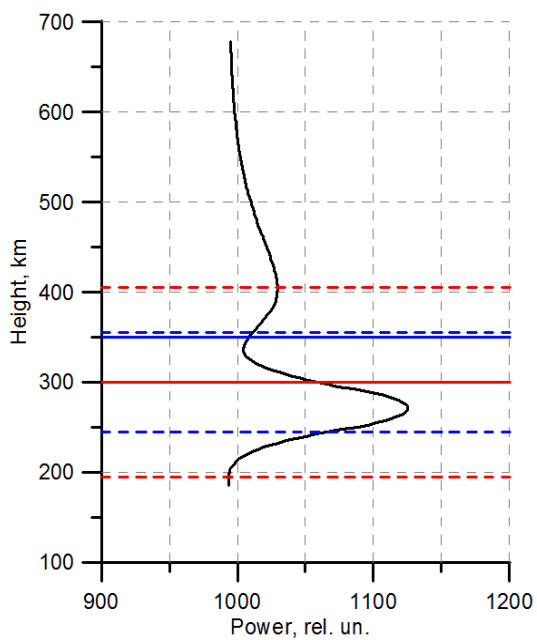
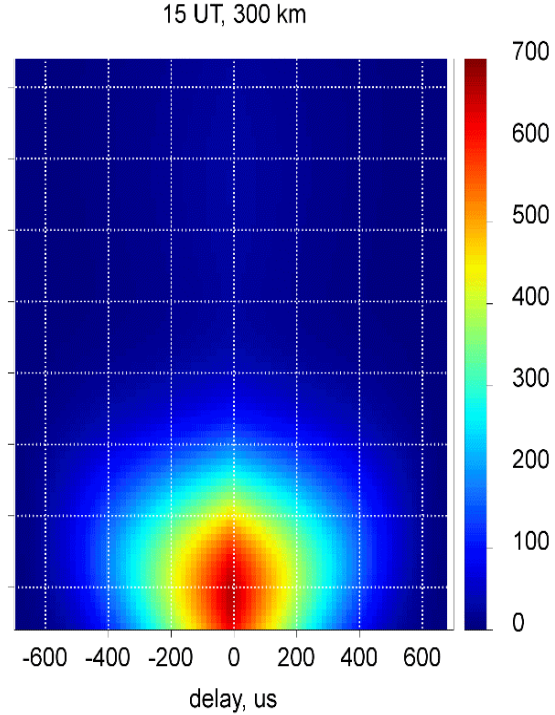
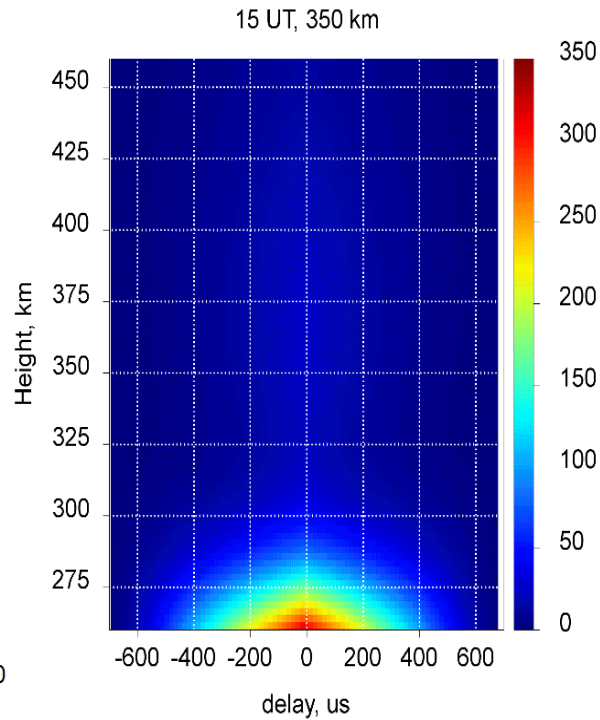
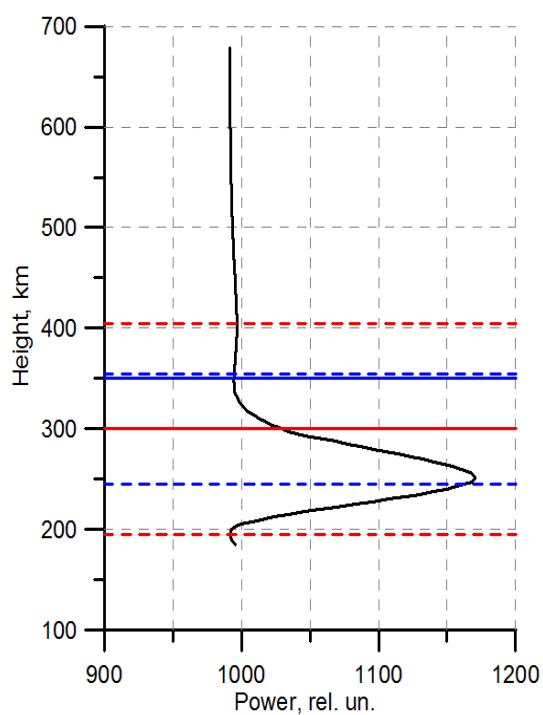
$$T_e \approx 1.9 \cdot 10^8 \cdot \frac{1}{\tau_0^2} + 1.12 \cdot 10^5 \cdot \frac{1}{\tau_0} - 2.2 \cdot 10^8 \cdot \frac{1}{\tau_{min}^2} + 2.03 \cdot 10^5 \cdot \frac{1}{\tau_{min}} - 24$$

$$Tr \approx 13.8 \cdot A_{min}^2 - 0.04 \cdot A_{min} + 0.5$$

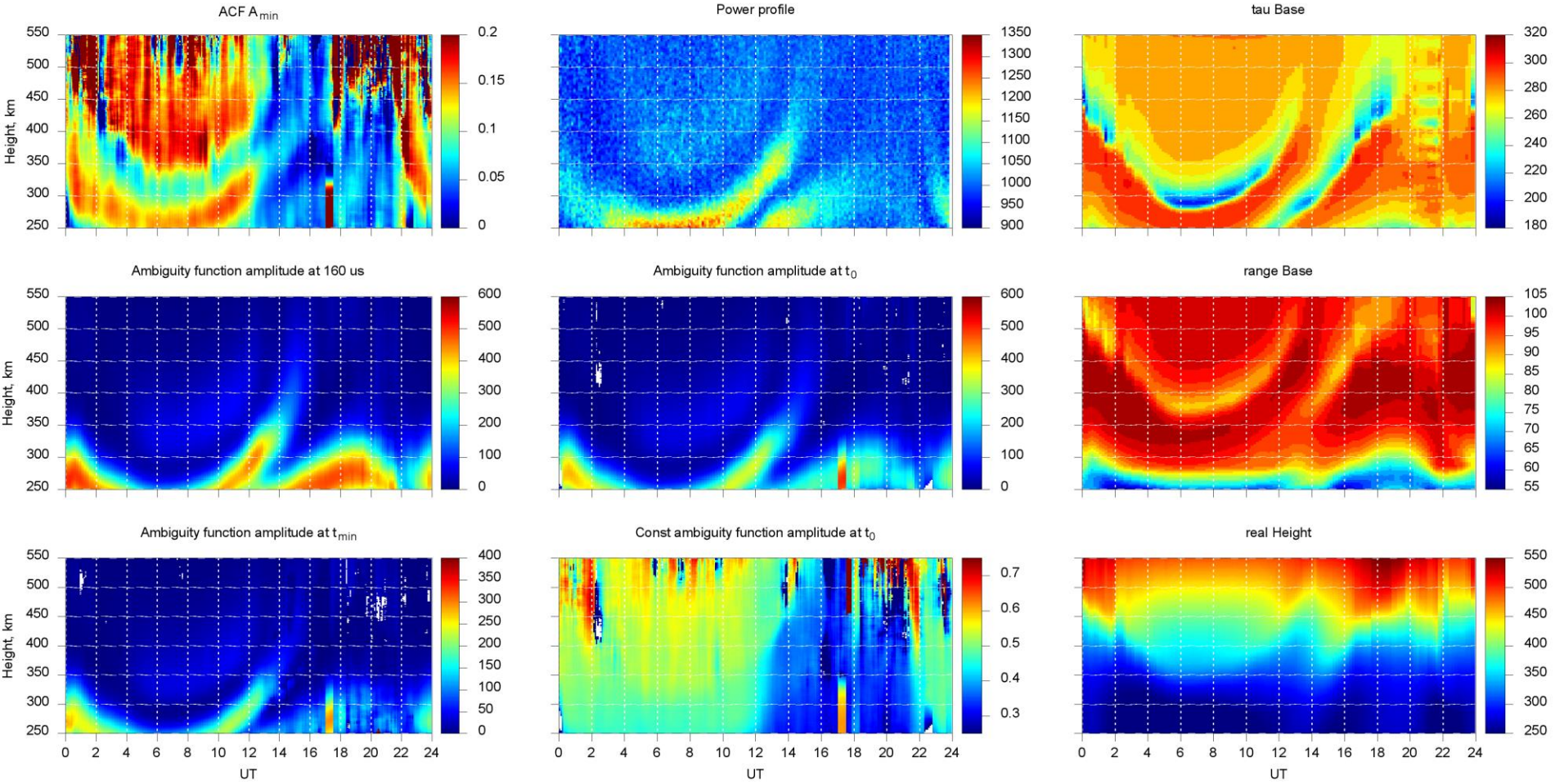


Вычисления проводились на
 вычислительном кластере
 «Академик В.М. Матросов»
 [<http://hpc.icc.ru>].

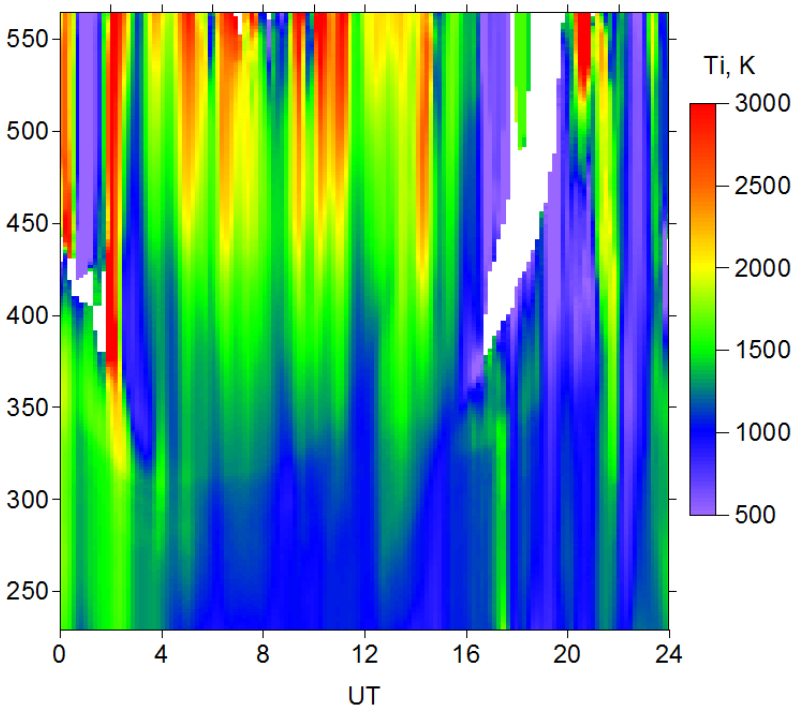
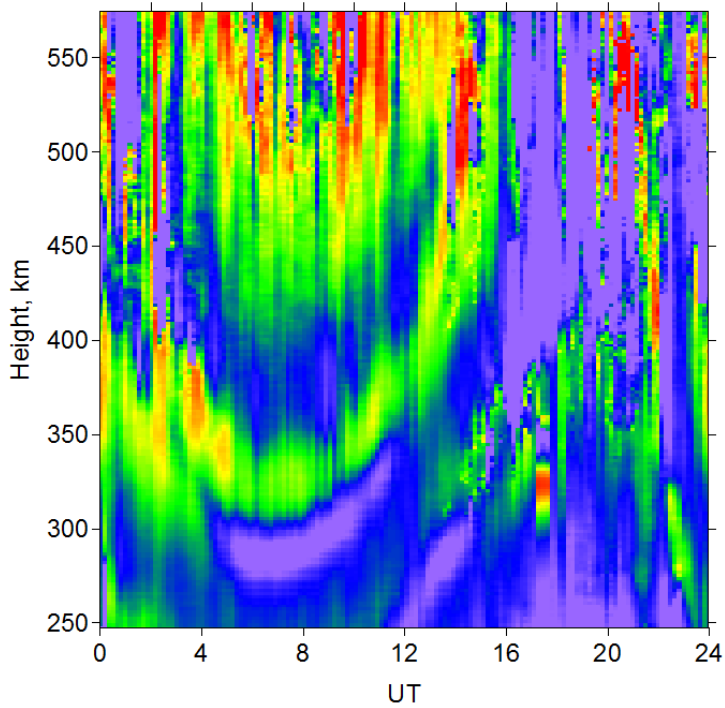
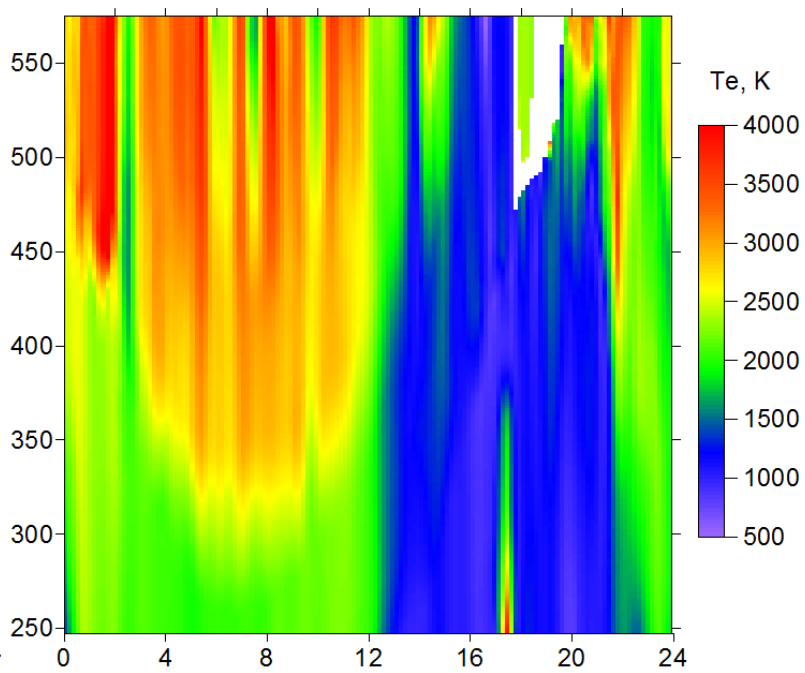
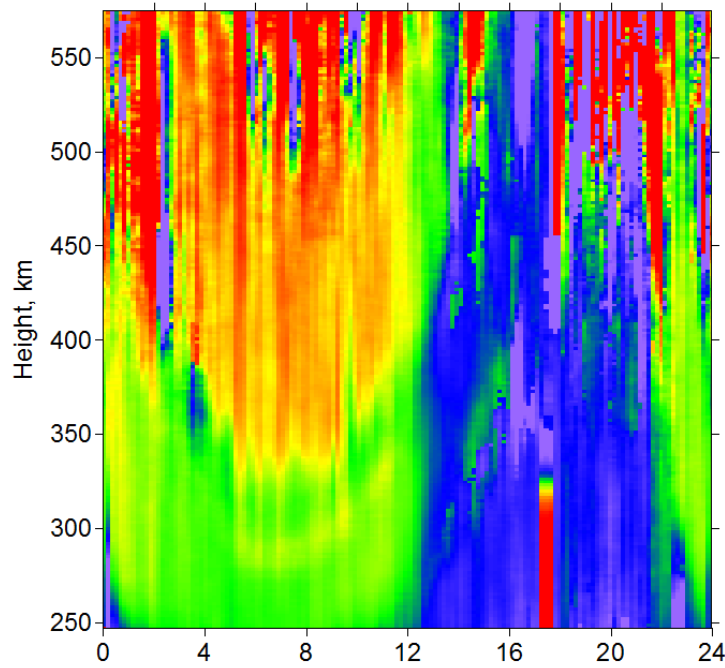




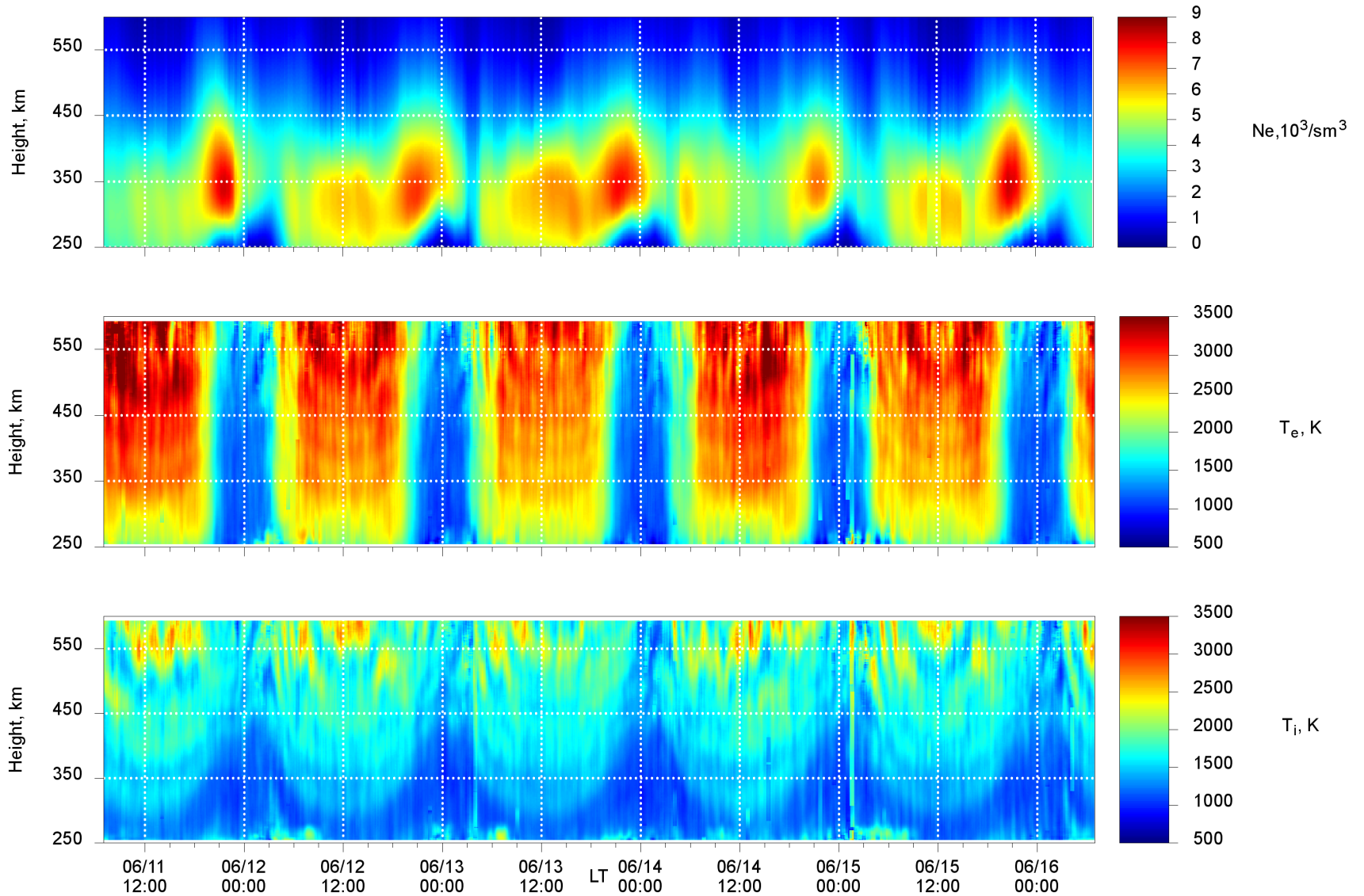
April 15, 2016

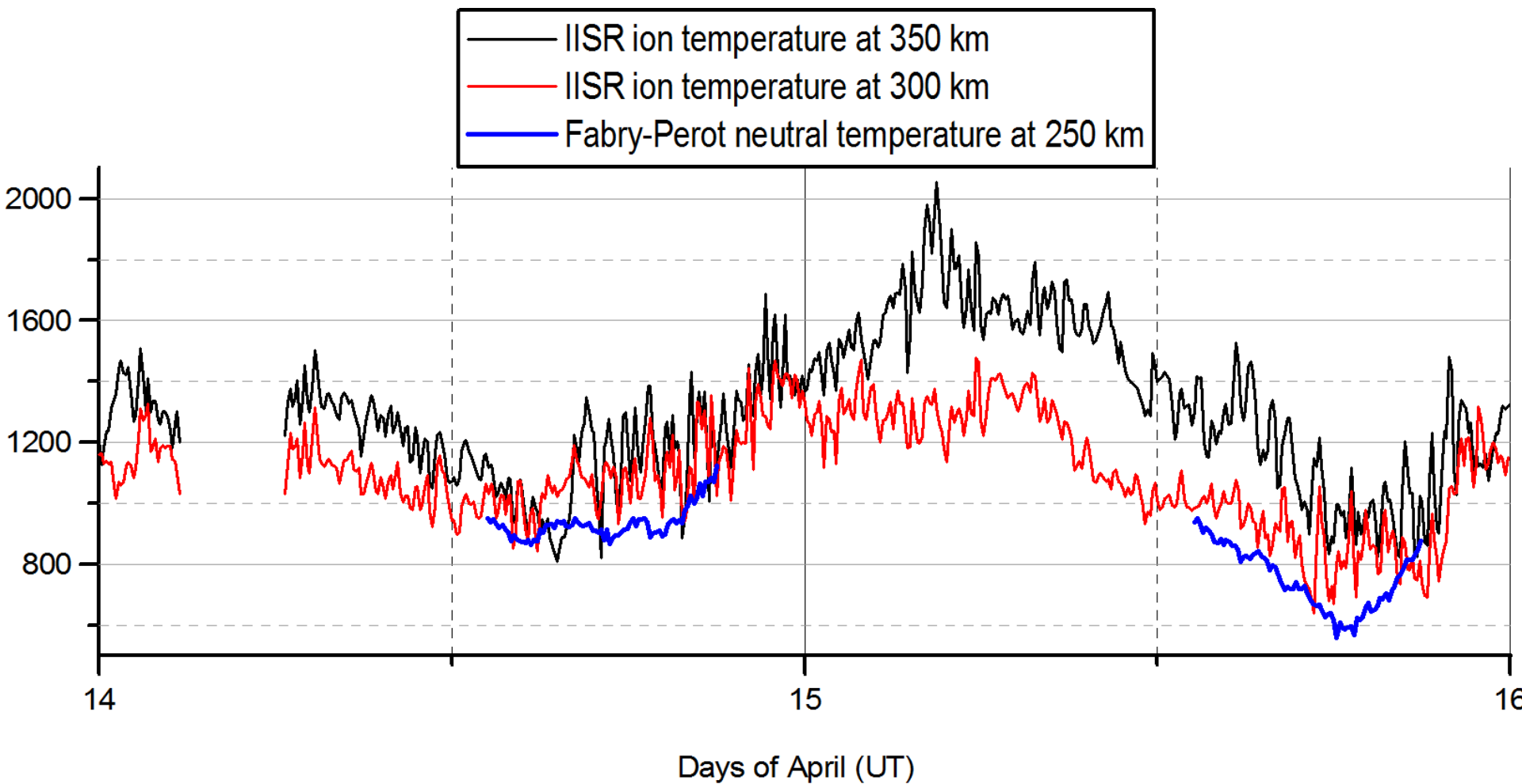


April 15, 2016



June 11-15, 2015





В результате анализа обработанных данных были построены гипотезы о существовании нескольких систематических погрешностей, не учитываемых ранее.

- Весовая функция построена некорректно вследствие неопределенности входных данных, т.е. профиля мощности широкополосного сигнала. Из-за слабой энергетики сигнала (длительность окна всего 30 км) на высотах выше 400 км перестают различаться фарадеевские вариации мощности сигнала, которые, безусловно, вносят свой вклад в АКФ. Также уровень провалов мощности сигнала, строго говоря, может быть не нулевым и не постоянным по высоте.
- Ошибка приближения, использованного для решения обратной задачи. Однако на основе описанной модели была протестирована работа алгоритма для различных градиентов температур. В каждом случае были восстановлены правильные значения температур.
- Предполагается существования значительной когерентной составляющей сигнала обратного рассеяния для диапазона длин волн ИРНР ~ 2 м. Это приводит к существенному усложнению обратной задачи и ее решения. Метод идентификации когерентного вклада в сигнал обратного рассеяния и оценки его параметров находится в разработке.
- Другим важным свойством является характер функции неопределенности при однопозиционном зондировании с учетом эффекта Фарадея. При оконной обработке сигнала центр засвеченного объема ионосферы приходится на начало выбранного окна, т.к. вклад в результирующую АКФ вносит сигнал не только в текущем окне, но и в предыдущем.

Спасибо за внимание